



# ПРИМЕНЕНИЕ НАНОСТРУКТУРНЫХ ПРОСЛОЕК В СОЕДИНЕНИЯХ ТРУДНОСВАРИВАЕМЫХ МАТЕРИАЛОВ НА АЛЮМИНИЕВОЙ ОСНОВЕ (Обзор)

Д. А. ИЩЕНКО, инж. (Ин-т электросварки им. Е. О. Патона НАН Украины)

Рассмотрены технологии применения наноструктурных прослоек в виде фольг или покрытий для совершенствования неразъемного соединения трудносвариваемых материалов на основе алюминия в процессах диффузионной, контактной сварки, а также сварки с нагревом за счет экзотермической реакции самораспространяющегося высокотемпературного синтеза.

**Ключевые слова:** диффузионная сварка, контактная сварка, самораспространяющийся высокотемпературный синтез, алюминиевые сплавы, наноструктура, присадки, прослойки, покрытия, фольги, порошки, пластическая деформация, экзотермическая реакция

Алюминий и алюминиевые сплавы по производству и применению занимают второе место после стали. Благодаря уникальному сочетанию комплекса физико-механических, коррозионных и технологических свойств сплавы на основе алюминия успешно применяются в различных отраслях промышленности и в строительстве. Значительны объемы применения алюминиевых сплавов в военной технике, в автомобильном, железнодорожном и водном транспорте, электротехнике, при изготовлении криогенной и химической аппаратуры, в сельскохозяйственном и пищевом машиностроении. Кроме того, высокопрочные алюминиевые сплавы являются основным конструкционным материалом в летательных аппаратах, в том числе в изделиях ракетно-космической техники (до 80 % объемов по массе). Распространению таких материалов в производстве ответственных изделий способствуют современные интенсивные исследования свариваемости и разработка эффективных мер по повышению прочности и надежности сварных соединений, в частности, по предотвращению образования горячих трещин и пор в швах.

Для совершенствования процессов сварки в твердом состоянии и улучшения свойств неразъемных соединений трудносвариваемых материалов, а также сплавов различных систем легирования разработана эффективная технология применения наноструктурных прослоек между соединяемыми поверхностями свариваемых изделий. Такие прослойки представляют собой одно- или многослойные покрытия, фольги или смеси ультрадисперсных порошков. При диффузионной сварке с применением таких материалов получают

сварные соединения с дисперсной микроструктурой, имеющие высокую прочность. Пластическая деформация локализуется в тонкой прослойке, что позволяет осуществлять сварку при использовании режимов с меньшими давлением, продолжительностью и температурой, т. е. сохраняется исходная структура свариваемых материалов.

Применяемый для сварки давлением самораспространяющийся высокотемпературный синтез (СВС) интерметалличидных соединений заключается в безгазовом горении металлов (компонентов шихты) в промежутке между свариваемыми материалами. Этот процесс активируется при использовании в качестве шихты ультрадисперсных пленочных или порошковых прослоек, которые состоят из металлов, способных вступать между собой в мгновенную экзотермическую реакцию. Технология СВС обеспечивает качественное формирование соединений благодаря высокой степенью локализации нагрева в зоне сварки.

Процесс контактной сварки с применением наноструктурных прослоек также совершенствуется благодаря уменьшению времени сварки и повышенной локализации нагрева с предотвращением разупрочнения материалов.

Цель настоящего обзора — проанализировать современные разработки способов неразъемного соединения в твердом состоянии материалов на основе алюминиевых сплавов с применением наноструктурных прослоек в виде фольг или покрытий, а также с использованием ультрадисперсных присадок, которые обеспечивают получение дисперсной структуры зоны неразъемного соединения с высокими прочностными характеристиками.

**Неразъемное соединение с использованием наноструктурных прослоек при сварке взрывом.** При производстве слоистых плит из высокопрочных алюминиевых сплавов в качестве исходных заготовок часто применяют предварительно плакированные плиты, причем их исходная

толщина в пакете может значительно колебаться в зависимости от конечной толщины плиты и требуемого соотношения слоев, что сказывается на качестве соединения слоев и проявляется в нестабильности свойств при статических и динамических испытаниях. В работе [1] проведена сравнительная оценка качества соединения, полученного сваркой взрывом, при плакировании высокопрочных сплавов системы Al-Zn-Mg ( $\Sigma Mg + Zn \geq 9\%$ ). Указано, что прочность и ударная вязкость соединения возрастают с увеличением относительной степени деформации  $\varepsilon$  при плакировании. Наблюдается наиболее интенсивный рост прочности при увеличении степени деформации до 50 % и затем более плавное увеличение до значений, равных прочности прослойки АД1 (рис. 1). Ударная вязкость достигает максимальных значений при более высоких степенях деформации ( $\varepsilon = 80\%$ ), являясь более чувствительной характеристикой к дефектам типа оксидных плен. Существенное влияние на качество соединения, особенно на пластические свойства, оказывает термообработка (рис. 2). При повышении температуры закалки и увеличении времени выдержки ударная вязкость соединения снижается. Излом приобретает более хрупкий характер, особенно после рекристаллизационного отжига при температуре 550 °C и  $\varepsilon < 66\%$ . При увеличении степени деформации это влияние уменьшается.

**CBC-процесс для неразъемного соединения материалов и получения интерметаллидных покрытий.** В процессе соединения металлов с помощью CBC нагрев места соединения происходит за счет экзотермической реакции в шихте, предварительно размещенной между соединяемыми поверхностями [2]. При этом CBC-продукт в большей или меньшей степени участвует в формировании материала шва. Различают два варианта осуществления процесса. В первом случае (CBC-пайка) соединяемые материалы и помещенный в зазор между ними слой шихты в исходном состоянии являются холодными или равномерно прогретыми. Кратковременным локальным нагре-

вом в этом слое инициируется волна горения, которая разогревает соединяемые поверхности и расплавляет CBC-продукт. После этого место сварки подвергают сжатию, максимально сближая поверхности материалов и частично удаляя CBC-продукт из зазора. Во втором случае (CBC-сварка) используется электропроводящая шихта и инициирование процесса происходит за счет пропускания через нее и свариваемые материалы тока, при этом экзотермическая реакция происходит одновременно во всем объеме шихты.

В CBC-процессе в тонких двухслойных пленках температура инициирования зависит от скорости нагрева и соотношения толщин каждого слоя. При этом безгазовое горение реализуется при температурах инициирования на 300...350 °C меньших, чем на порошках (например, для Al/Fe и Al/Co в пределах 250...400 °C, а для Al/Ni — 200...300 °C) [3]. Механизм CBC аналогичен процессу взрывной кристаллизации. В начальной стадии твердофазные реакции, возникающие на контактной поверхности пленочных конденсаторов, могут быть безгазовым горением. Реакция в тонких пленках может реализовываться и на поверхности порошков, если второй реагент находится в жидкой фазе. Большие скорости охлаждения после прохождения волны CBC в двухслойных пленках приводят к стабилизации высокотемпературных и метастабильных фаз.

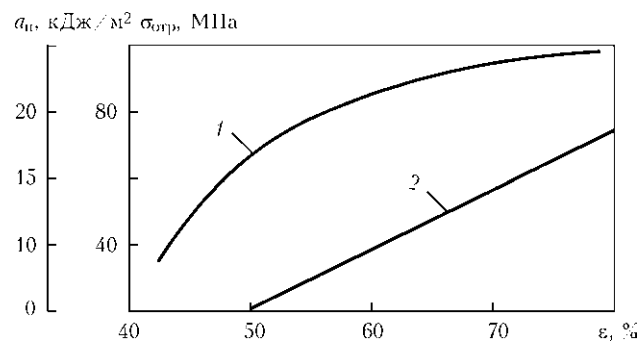
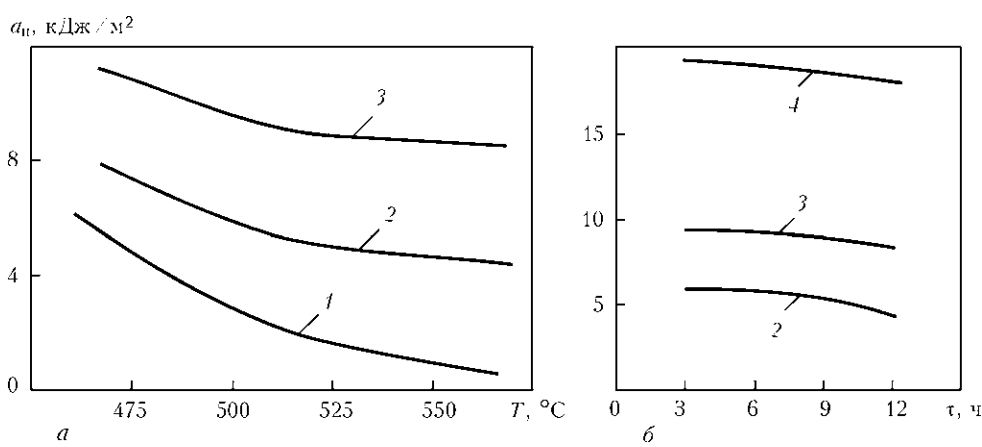


Рис. 1. Зависимость прочности соединения слоев  $\sigma_{\text{отр}}$  (1) и ударной вязкости  $a_H$  (2) от степени деформации [1]

Рис. 2. Зависимость ударной вязкости соединения от температуры закалки ( $\tau = 3$  ч) (а) и времени выдержки ( $T = 470$  °C) (б) [1]: 1—4 — соответственно  $\varepsilon = 50, 60, 70$  и 80 %



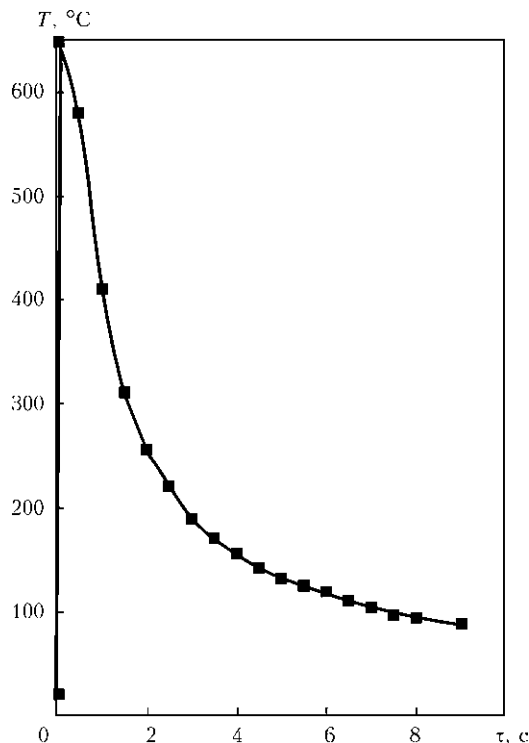


Рис. 3. Термограмма реакции CBC в образце системы Ni–Al (61,2 мас. % Al) [4]

В области неразъемного соединения интерес к многослойным фольгам на основе элементов, образующих интерметаллиды, обусловлен также их применением в качестве присадок и для источников локального нагрева металлов при реализации реакции CBC (безгазового горения) в сварочном зазоре. В работе [4] проведена оценка интенсивности тепловыделения в процессе CBC в слоистых фольгах Ni/Al, помещенных между двумя соединяемыми медными фольгами. Показано, что в зависимости от химического состава, толщины и характеристик исходной микроструктуры слоистых фольг интенсивность тепловыделения может изменяться в широких пределах от 70 до 400 Вт/см<sup>2</sup>. Скорость распространения волны безгазового горения также зависит от толщины слоев компонентов: при их уменьшении до нанометрового масштаба скорость распространения волны реакции CBC по фольге может достигать 10 м/с. На термограмме (рис. 3) видно, что после иницирования реакции CBC температура пакета быстро возрастает (за 0,1 с) до значения, зависящего от количества выделившегося тепла, массы образца и медной фольги, которые подбирались так, чтобы разогрев всего пакета не превышал температуру плавления меди. Как правило, эта температура находилась в пределах 500...700 °C.

Работа [5] посвящена исследованию механизмов диффузии, формирования и стабильности зародышей новых фаз в реакциях, соответствующих CBC в системе Ni–Al. При сравнении количественного и качественного изменения фазового сос-

тава для различного содержания внедренных частиц алюминия (30 и 50 %) в никелевую матрицу показано преобладание фазы Ni<sub>3</sub>Al для 30 % Al и 50 % NiAl. Скорость растворения внедренных частиц алюминия в первом случае, когда система импульсно разогревалась в нарастающей серии последовательных интервалов времени и запоминалась конечная структура материалов, после процесса закалки ниже, чем во втором случае, когда запоминалась динамическая структура системы, полученная при импульсном разогреве, и вновь подвергалась импульсному разогреву в течение нового интервала времени.

В работах [6–8] изучены микро- и наноструктуры многослойных пленок, полученных с использованием метода магнетронного напыления и состоящих из чередующихся слоев титана и алюминия, в широком диапазоне значений толщины слоев. Рассмотрены микроскопические особенности распространения в них волн безгазового горения. В процессе безгазового горения в многослойных пленках системы Al–Ti наиболее вероятным механизмом самораспространяющейся реакции является диффузия алюминия в β-Ti при температуре, близкой к температуре перехода α-Ti в β-Ti. В результате CBC образуются интерметаллические соединения титана с алюминием, которые представляют собой сильно текстурированные беспористые поликристаллические материалы, в которых присутствуют две взаимно перпендикулярные системы границ: между слоями и межзеренные. Слои реагентов сплошные и достаточно ровные, перемешивание вдоль их границ незначительное (рис. 4). Столбчатые зерна ориентированы нормально к плоскости фольги. По мере уменьшения толщины слоев они становятся слаборазличимыми, однако зеренная структура сохраняется, а иногда становится более явной (рис. 5). Поскольку коэффициент диффузии алюминия в титане весьма малый, межзеренные границы могут служить путями для аномально быстрой диффузии, так как ориентированы параллельно диффузионному потоку. По сравнению с горением порошковых смесей «растекание» волны CBC в фольге проходит более равномерно. В то же время межзеренные границы могут замедлять поток тепла, направленный от горячих продуктов в несгоревшую часть образца, т. е. вдоль фольги.

В работе [9] описаны режимы фазовых образований при гетерогенной реакции безгазового горения в многослойных нанопленках системы Al–Ti. Указано, что взаимодействие элементов проходит в следующем порядке: разупорядочение кристаллической структуры титана с одновременным увеличением межплоскостных расстояний и насыщением твердого титана атомами алюминия; упорядочение кристаллической решетки с обра-

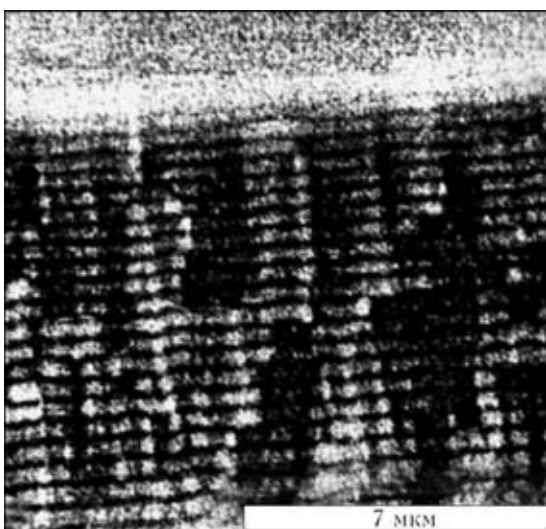


Рис. 4. Микроструктура многослойных пленок Al/Ti в результате СВС (растровая электронная микроскопия) [8]

зованием твердого раствора на основе  $\alpha$ -Ti и параллельное образование фазы  $TiAl_3$ ; упорядочение перемешанных атомов титана и алюминия в кристаллическую структуру конечного продукта сплава TiAl. В режиме горения все стадии процесса происходят почти мгновенно — менее чем за 0,04 с. При применении обоих режимов происходит наследование текстуры исходных слоев промежуточными и конечной фазами.

В работах [10–12] рассмотрены преимущества объединения СВС-процесса и механического воздействия при соединении ультрадисперсных материалов из интерметаллидов AlNi и AlTi. Продолжительность и режим механической активации при диспергировании в порошковых смесях никеля с алюминием и титана с алюминием влияет на характеристики процесса и состав продуктов безгазового горения. Горение для данных составов происходит в микрогетерогенном режиме, а скорость прогрева определяется временем прогрева композиционных частиц. В случае режима термического взрыва, где горение нельзя остановить сразу после достижения точки воспламенения, его можно замедлить за счет различной длительности горения после воспламенения, изменяя скорость нагрева и используя грубый порошок никеля в качестве источника тепла *in situ*. Этот косвенный метод успешно имитирует операцию волновой закалки, которая применима только к режиму распространения плоской волны.

**Контактная сварка.** В работе [13] приведены результаты исследования особенностей формирования соединений по технологии контактной сварки сопротивлением с использованием наноструктурных Al/Ni и Al/Cu фольг в качестве вставок между соединяемыми деталями из алюминиевых сплавов АД0, 1460 и АМг6. Такая технология характеризуется высококонцентрированным выделением тепла в стыке, что уменьшает время свар-

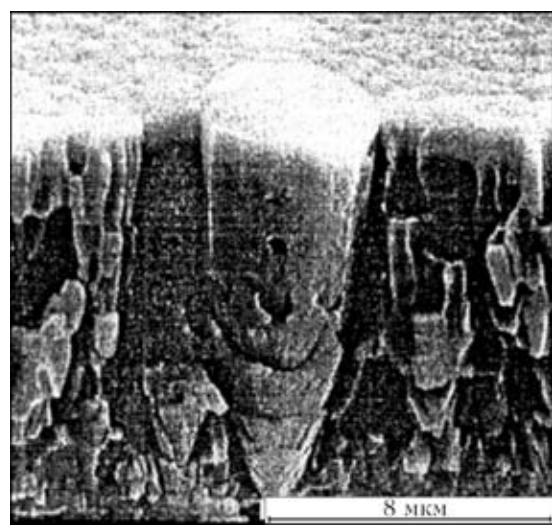


Рис. 5. Микроструктура излома пленки Al/Ti при толщине слоев 95 нм [8]

ки и предотвращает разупрочнение металла. При использовании фольги, состоящей из слоев алюминия и никеля, происходит дополнительное выделение тепла в зоне контакта, обусловленное протеканием экзотермической реакции между металлами, которая сопровождается образованием интерметаллидных фаз. Развитие экзотермической реакции зависит от скорости нагрева при сварке. С повышением последней под воздействием усилия сжатия увеличивается объем грата. Оптимальной для получения качественных соединений является скорость нагрева 500...800 °C/с. Фрагменты фольги сохраняют слоистую структуру, т. е. реакция алюминия и никеля протекает локально (рис. 6). Использование алюминиево-médных наноструктурных фольг позволяет заметно уменьшить температуру сварки (на 100...150 °C) благодаря протеканию процесса формирования в фольге эвтектики  $Al_2Cu$ . Это имеет особое значение при сварке термически нестабильных алюминиевых сплавов.

На основе исследований механизма формирования зоны соединения авторы работы [14] разработали методы получения точечной контактной сваркой работоспособных соединений из стали и алюминиевых сплавов АМг6 и АМц с использованием биметаллических пластин стали–алюминий, которые изготавливали прокаткой или сваркой взрывом. При этом показано, что при изготовлении прокладок предпочтение следует отдавать сварке взрывом, так как она позволяет получить качественное соединение с самоочисткой поверхности в процессе косого соударения листовых заготовок. Используя биметаллический переходник, осуществляли точечную контактную сварку сплава АМг6 со сталью Ст3. Закономерности процессов расплавления, кристаллизации, взаимной диффузии и химического взаимодействия компонентов, а также их изменения с повы-

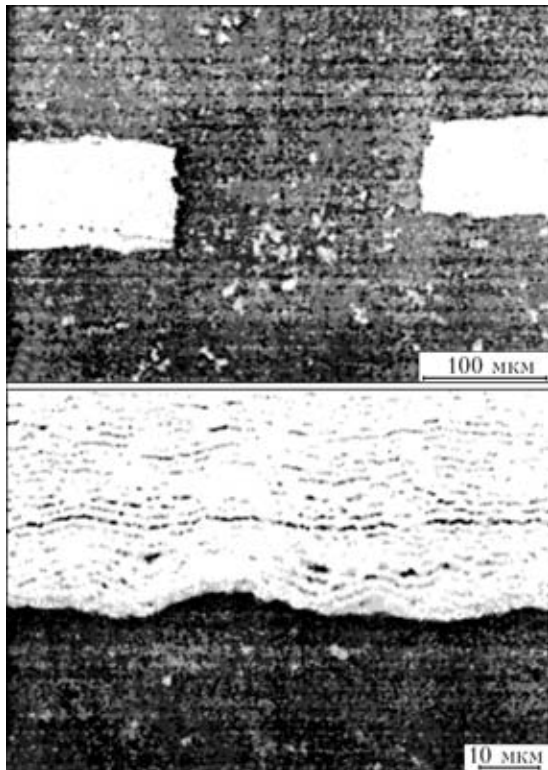


Рис. 6. Фрагменты фольги Al/Ni в металле сварного шва [13].  
шением температуры и давления позволяют определить оптимальные режимы сварки и получать прочное соединение между биметаллом и основным материалом.

**Способы изготовления наноструктурных фольг и покрытий.** На качество соединений, полученных с использованием наноструктурных фольг и покрытий, наряду с параметрами сварочных процессов и последующей обработкой влияют химический и фазовый состав, размер ультрадисперсных частиц и толщина наноструктурных фольг или покрытий. Соответственно важное значение имеют и особенности процессов их получения. Наноструктурные фольги и покрытия изготавливают следующими методами: закалка из расплава спиннингованием [15–20]; детонационное нанесение [21, 22]; конденсация [23]; осаждение после газотермического [24], магнетронного [25], вакуумно-дугового [26] распыления; ионная имплантация [27, 28]; гальваническое осаждение.

**Заключение.** Представленные выше результаты опубликованных работ свидетельствуют о высокой эффективности применения наноструктурных прослоек для соединения трудносвариваемых алюминиевых сплавов. Такими прослойками могут быть элементарные или многослойные покрытия, фольги или смеси ультрадисперсных порошков. Сварные соединения при этом получаются высокопрочными с дисперсной микроструктурой.

В условиях диффузионной сварки с использованием фольг или покрытий, имеющих ультра-

дисперсную структуру, пластическая деформация локализуется в тонкой прослойке. Это позволяет прикладывать меньшее усилие сжатия и ускорять процесс сварки без нагрева, что способствует сохранению исходной структуры свариваемых материалов.

Для СВС характерны высокотемпературные фазовые образования в зоне контакта при аномально быстрой реакции и диффузии. При этом обеспечивается качественное формирование швов при сравнительно мягких температурных режимах благодаря высокой степени локализации нагрева в зоне сварки.

Применениеnanoструктурных многослойных фольг при контактной сварке вызывает дополнительное высококонцентрированное выделение тепла в зоне соединения. Этому способствует инициируемая электрическим током локальная экзотермическая реакция между металлами прослойки, позволяющая сохранять структуру и прочностные свойства основного материала.

1. Шленский А. Г. Исследование качества соединения при плакировании сплавов системы Al–Zn–Mg // Технология машиностроения. — 2008. — № 8. — С. 20–23.
2. Клубович В. В., Кулак М. М., Самолетов В. Г. Получение неразъемных соединений материалов с помощью СВС // Сварка и родственные технологии: Сб. науч. тр. — Минск, 2005. — С. 62–63.
3. Самораспространяющийся высокотемпературный синтез и твердофазные реакции в двухслойных тонких пленках / В. Г. Мягков, В. С. Жигалов, Л. Е. Быкова, В. К. Мальцев // Журн. техн. физики. — 1998. — **68**, № 10. — С. 58–62.
4. Шишкин А. Е., Роговченко Д. С., Устинов А. И. Оценка интенсивности тепловыделения в процессе быстрораспространяющейся реакции СВС в многослойных фольгах Ni/Al // Металлофизика и новейшие технологии. — 2009. — **31**, № 9. — С. 1179–1188.
5. Денисова Н. Ф., Старостенков М. Д., Холодова Н. Б. Исследование формирования и стабильности зародышей новых фаз в реакциях, соответствующих СВС-синтезу в системе Ni–Al // Тр. 9 Междунар. науч.-техн. конф. «Композиты — в народное хозяйство» («Композиты-2005»). — Барнаул, ноябрь, 2005. — Барнаул: АлГГТУ, 2005. — С. 100–105.
6. Безгазовое горение многослойных биметаллических наполненок Ti/Al / А. С. Рогачев, А. Э. Григорян, Е. В. Илларионова и др. // Физ. горения и взрыва. — 2004. — **40**, № 2. — С. 45–51.
7. Автоволновое распространение экзотермических реакций в тонких многослойных пленках системы Ti–Al // А. Э. Григорян, Н. Г. Елистратов, Д. Ю. Ковалев и др. // Докл. РАН. — 2001. — **381**, № 3. — С. 368–372.
8. Структурные особенности тонких многослойных пленок Ti/Al для самораспространяющегося высокотемпературного синтеза / А. Э. Григорян, Е. В. Илларионова, Б. А. Логинов и др. // Изв. вузов. Цвет. металлургия. — 2006. — № 5. — С. 31–36.
9. Формирование кристаллической структуры продуктов при гетерогенной реакции в многослойных биметаллических наносистемах / А. С. Рогачев, Ж. К. Гашон, А. Э. Григорян и др. // Изв. РАН. Сер. физ. — 2006. — **70**, № 4. — С. 609–611.
10. Самораспространяющийся высокотемпературный синтез и механическое сплавление при получении монофазных высокодисперсных интерметаллидов / Т. Ф. Григорьева, М. А. Корчагин, А. П. Баринова, Н. З. Ляхов // Материаловедение. — 2000. — № 5. — С. 49–53.

11. Biswas A., Roy S. K. Comparison between the microstructural evolution of two modes of SHS of NiAl: key to a common reaction mechanism // Acta Mater. — 2004. — 52, № 2. — С. 257–270.
12. Шкодич Н. Ф., Кочетов Н. А., Сачкова Н. В. О влиянии механической активации на СВС-составы Ni-Al и Ti-Al // Изв. вузов. Цвет. металлургия. — 2006. — № 5. — С. 44–50.
13. Особенности контактной сварки алюминиевых сплавов с использованием наноструктурных алюминиево-никелевых и алюминиево-медных фольг / В. С. Кучук-Яценко, В. И. Швец, А. Г. Сахацкий, А. А. Наконечный // Свароч. пр-во. — 2007. — № 9. — С. 12–14.
14. Ковалевский В. Н., Демченко Е. Б., Лопатко И. Г. Использование нанопокрытий при сварке разнородных материалов давлением // Сварка и родственные технологии. — 2006. — Вып. 8. — С. 84–87.
15. Нанослоистые фрагменты в алюминиевых сплавах / А. П. Шпак, В. П. Майборода, Ю. А. Куницкий и др. // Наносистемы, наноматериалы, нанотехнологии. — 2004. — 2, № 2. — С. 681–687.
16. Неумержицкая Е. Ю., Шепелевич В. Г. Структура, свойства и термическая стабильность быстрозатвердевших фольг сплава алюминия с хромом, никелем и марганцем // Перспект. материалы. — 2005. — № 4. — С. 69–73.
17. Особливості фазоутворення в швидкозагартованих сплавах Al–Fe–Cr при наявності квазікристалів / М. В. Карпець, С. О. Фірстов, Л. Д. Кулак // Фіз. і хімія твердого тіла. — 2006. — 7, №1. — С. 147–151.
18. Гутько Е. С., Шепелевич В. Г. Исследование быстрозатвердевших фольг бинарных и тройных сплавов на основе алюминия, содержащих цинк и магний // Физ. и химия обработки материалов. — 2005. — № 4. — С. 81–85.
19. Ташилькова-Бушкевич И. И., Шепелевич В. Г. Элементный послойный анализ распределения компонентов в объеме быстрозатвердевших низколегированных сплавов алюминия // Там же. — 2000. — № 4. — С. 99–105.
20. Структурный и фазовый анализ быстрозатвердевших сплавов Al–Fe / И. И. Ташилькова-Бушкевич, Е. С. Гутько, В. Г. Шепелевич, С. М. Барайшук // Поверхность.
21. Рентгеновские, синхротронные и нейтронные исследования. — 2008. — № 4. — С. 69–75.
22. Влияние свойств порошков алюминидов титана и условий детонационного напыления на фазо- и структурообразование покрытий / В. Е. Оликер, В. Л. Сиротова, И. И. Тимофеева и др. // Порошк. металлургия. — 2005. — № 9/10. — С. 74–84.
23. Романьков С. Е., Калошкин С. Д., Пустов Л. Ю. Синтез титаноалюминидных покрытий методом механического сплавления и последующего отжига на поверхности титана и алюминия // Физ. металлов и металловедение. — 2006. — 101, № 1. — С. 65–73.
24. Перекрестов В. И., Косминская Ю. А., Кравченко С. Н. Закономерности структурообразования конденсаторов слабопересыщенных паров Cu, Ti, Al и Cr // Металлофизика и новейшие технологии. — 2003. — 25, № 6. — С. 725–735.
25. Структурные особенности квазикристаллических покрытий из сплава Al<sub>63</sub>Cu<sub>25</sub>Fe<sub>12</sub> / Е. И. Буженец, В. П. Майборода, А. П. Шпак и др. // Наносистемы, наноматериалы, нанотехнологии. — 2004. — 2, № 4. — С. 1323–1329.
26. Hampshire J., Kelly P. J., Teer D. G. The tribological properties of co-deposited aluminium-titanium alloy coatings // 30 Intern. conf. on metallurgical coatings and thin films. — San Diego, Calif., Apr. 28–May 2, 2003. — P. 392–398.
27. Budilov V., Kireev R., Kamalov Z. Intermetallic products formed by joint cold cathode vacuum arc sputtering of titanium and aluminium / Mater. Sci. and Eng. A. (11 Intern. conf. on rapidly quenched and metastable materials), Oxford, 25–30 Aug., 2002. — 2004. — 375–377. — P. 656–660.
28. Формирование поверхностных слоев, содержащих интерметаллидные соединения систем Ni–Al и Ti–Al, при высокointенсивной ионной имплантации / И. А. Курзина, И. А. Божко, М. П. Калашников, Ю. П. Шаркоев // Перспект. материалы. — 2005. — № 1. — С. 13–23.
29. Высокоинтенсивная имплантация ионов алюминия в титан / И. А. Курзина, И. А. Божко, М. П. Калашников и др. // Металлофизика и новейшие технологии. — 2004. — 26, № 12. — С. 1645–1660.

Considered are the technologies for application of nanostructured interlayers in the form of foils or coatings to improve permanent joints on hard-to-weld aluminium-base materials in processes of diffusion bonding and resistance welding, as well as welding with heating due to an exothermic reaction of self-propagating high-temperature synthesis.

Поступила в редакцию 08.12.2010

## Уважаемые соискатели!

Сообщаем, что в Институте электросварки им. Е. О. Патона НАН Украины создан специализированный ученый совет (Д26.182.02), принимающий к защите диссертации на соискание ученой степени доктора (кандидата) наук по специальности:

**05.0201 «Материаловедение»**

**05.16.02 «Металлургия черных и цветных металлов и специальных сплавов»**